

### III-27 セメント混合処理土を柱状に設置した複合土の圧密特性

東海大学 学員 ○ 大木仁史  
東海大学 正員 稲田信穂

#### 1. まえがき

セメント混合処理土を柱状に設置した粘性土について標準圧密試験機を用いて圧密した結果を、文献1)に発表した。セメント混合率および改良面積比を変化させた場合の圧密圧力とひずみ量との関係、圧縮指数、膨張指数、体積圧縮係数についてまとめ、その結果を示した。前回にはセメント混合率および改良面積比を変化させた場合について別々に整理したが、今回は前回の結果を統一して整理するとともに、一次圧密と二次圧密についても検討した。

#### 2. 実験方法

セメント混合率 $R_m$ は、 $R_m = 100(W_c + W_w)/W_p$ で定義した。ここで、 $W_c$ はセメント重量、 $W_w$ は水重量、 $W_p$ は改良部の湿潤粘性土重量であり、 $W_c : W_w = 1 : 2$ とした。セメントは、普通ポルトランドセメントである。

実験は次に示す二種類について行った。

実験I： 改良面積比 $A_p = A_p/A = 25\% \text{ 一定}$ で、セメント混合率 $R_m$ を6.3, 9.1, 12.5, 25.0 %に変化させた。ここで、 $A_p$ はパイル部面積でパイル径 $d = 3\text{cm}$ 、 $A$ は改良対象部面積である。

実験II： セメント混合率 $R_m = 12.5\% \text{ 一定}$ で、改良面積比 $A_p$ を0.028, 0.111, 0.25, 0.444, 1.0に変化させた。それぞれパイル径 $d = 1, 2, 3, 4, 6\text{cm}$ に対応する。

#### 3. 実験結果および考察

セメント混合率 $R_m$ および改良面積比 $A_p$ を統一して整理するため次の定数 $M_c$ を便宜的に用いた。

$M_c(\%) = 100 \cdot (W_c + W_w + A_p H_k) / A H_k = [A_p(R_m - 1) + 1] \times 100$

ここで、 $A_p$ は粘性土部面積、 $H_k$ は供試体高さ、 $k$ は粘性土湿潤単位体積重量。表-1に、実験IおよびIIに对应する $M_c$ を示す。

表-1  $M_c$ 対応表

$R_m(\%)$	25.0	12.5	9.1	6.3
$I(A_p=0.25)$	70	39	30	233
$II(R_m=12.5)$	1.0 (6cm)	0.444 (4cm)	0.25 (3cm)	0.111 (2cm)
$M_c(\%)$	12.5	6.1	3.9	2.28

#### 3.1 ひずみ量 $\varepsilon$ と圧密圧力 $P$ との関係

図-1は、上記の $M_c$ を用いて $\varepsilon - \log P$ 関係を示したものである。全面改良した $M_c = 12.5\%$ を除き、 $M_c$ が大きくなるに従い圧縮指数 $C_c$ は大きくなっている。図-3は、 $M_c$ と圧密降伏応力 $P_c$ との関係を示したものである。 $M_c$ が大きくなるに従い $P_c$ は大きくなり、ピークが存在するようである。

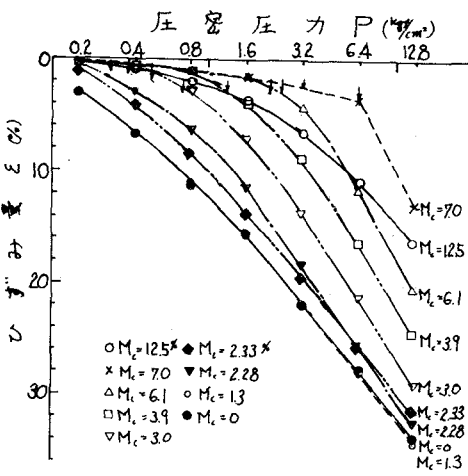


図-1  $M_c - P - \varepsilon$  関係

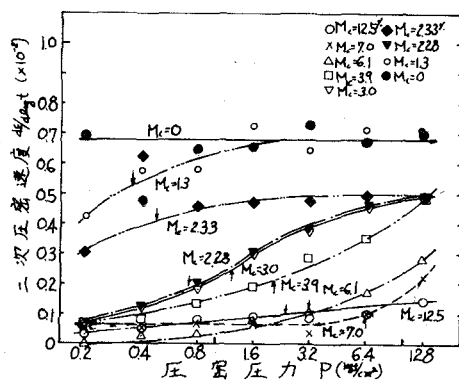


図-2  $M_c - P - d\varepsilon/d\log P$  関係

次に、圧密降伏応力  $P_c$  とひずみ量  $\epsilon$  の関係を示したのが、図-4である。圧密降伏応力は、三盤の方法で求め、 $P_c$ におけるひずみ量は、次のように求めた。 $P_c$ における  $\epsilon - \log P$  曲線上でのひずみ量を  $\epsilon_1$ 、点Oでのひずみ量を  $\epsilon_2$ とした。また、 $P_c$ を弾性域と塑性域との境界の応力と考え、作図した  $P_c$  (点O) でのひずみ量  $\epsilon_2$  は、応力と同様に弾性域と塑性域への転移点であると考えると、弾性域内のひずみ量とは、約3%以内、また  $P_c$  以下の  $\epsilon_1$  は、ほぼ6%以内であると言える。

図-5は、 $\epsilon - \log P$  曲線での初期の傾度  $C_r$  (図-4 参照) と終期の傾度  $C_e$  (圧縮指数) との比  $\epsilon/C_e$  と圧縮指数  $C_c$  との関係を示したものである。 $C_e$  が大きくなるに従い、 $\epsilon - \log P$  曲線の型が鋭くなり、過圧密に伴う特性が現われてくる傾向がある。また、 $\epsilon/C_e - C_c$  関係は、 $\epsilon - \log P$  曲線の分類に役立ち、セメント混合処理土の  $\epsilon - \log P$  関係を説明するのに役立ちそうだ。  $\epsilon/C_e$  が1.0ならば正規圧密粘性土であり、過圧密比が大きい粘性土ならばその値は小さくなる。

### 3.2 二次圧密速度 $\frac{d\epsilon}{dt}$

図-2は、各圧密圧力に対する二次圧密速度を示したものである。二次圧密速度は、圧密量をひずみ量で整理した  $\epsilon - \log t$  曲線での120分以降の直線関係から求めた。図-7に  $M_c = 3.9\%$  の場合の  $\epsilon - \log t$  関係を示した。

安川らは、塑性の異なる粘性土試料についての標準圧密試験に基づいて、圧密量と圧密圧力との関係と二次圧密速度との分布には相関性があることを示している。<sup>2)</sup> セメント混合処理土の場合にも同様であることが、図-1と図-2から伺える。

図-6は、二次圧密速度と圧縮指数との関係を示したものである。セメント混合処理複合土とすることにより、複合粘性土層としての性質が異なることがわかる。

図-7は、 $\epsilon - \log t$  関係の一例を示したものである。 $P_c$  以内では直線関係を示し、 $P$  が大きくなるに従い曲線になっていく。図中の破線は、 $P = 0.8 \text{ kg/cm}^2$  以下の  $\epsilon - \log t$  関係を拡大したもので、 $P = 0.8 \text{ kg/cm}^2$  の場合、初期において幾らか曲線を成している。

### 4. 参考文献

- 1) 大木、張倫国(1982)「セメント混合処理土を柱状に」第7回土木学会年次講演会(87-569-570)
- 2) 安川、森田(1982)「柱上  $\epsilon - \log t$  曲線と二次圧密特性」第37回土木学会年次講演会(87-131-132)

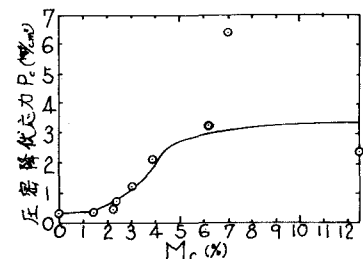


図-3  $P_c - M_c$  関係

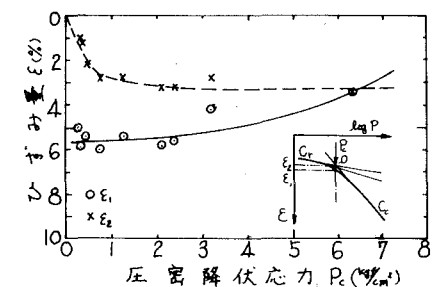


図-4  $\epsilon - P_c$  関係

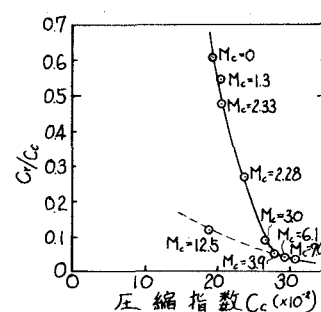


図-5  $\epsilon/C_e - C_c$  関係

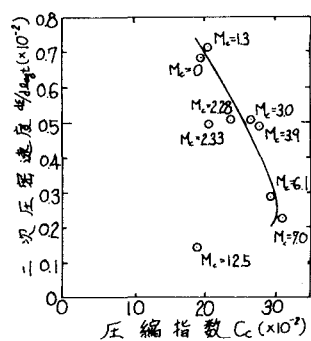


図-6  $\frac{d\epsilon}{dt} - C_c$  関係

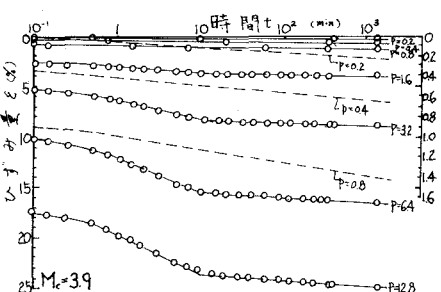


図-7  $\epsilon - \log t$  関係